

小型 디젤엔진의 豫燃燒室 形狀에 冷始動性에 미치는 影響에 關한 實驗的 研究

Effects of Precombustion Chamber Shape on the Startability
of Small Diesel Engine under the Cold Weather.

文 啓 松* · 金 容 煥* · 李 昇 揭*
Moon, Gyeh Song · Kim, Yong Whan · Lee, Seung Kyu

Summary

The aim of this study was to improve the startability of the diesel engine at low temperature. The specific objective was to determine the optimum type of precombustion chamber.

The eight different types of precombustion chamber and two different types of the cylinder head were designed and tested by 2⁷ factorial experiments with four replications. The lowest starting temperature for first operation, the maximum output, and the specific fuel consumption at full load and overload were checked and analyzed.

The results of the study are summarized as follows;

1. The lowest starting temperature was lowered as much as 2.4°C and the maximum output was increased as much as 0.3 ps with respect to the difference in the relative angle of the main passageway against the piston head from 20 degree to 18 degree.
2. The lowest starting temperature and the maximum out-put were lowered as much as 3.3°C and 0.3 ps respectively with respect to the difference in the angle of the cylinder head groove from 20 degree to 18 degree.
3. The lowest starting temperature and the maximum out put were lowered as much as 2°C and 0.2 ps respectively with respect to the difference in the length of the precombustion chamber from 17.5 mm to 15.5mm.
4. There was no significant difference in the startability but the maximum output was increased as much as 0.2 ps with respect to the difference in the diameter of the main passageway from 4.8mm to 4.5mm.
5. The lowest starting temperature was obtained under the condition at 47 degree in the angle of the main passageway and at 18 degree in the angle of the cylinder head groove. The maximum output and the minimum specific fuel consumption was obtained

* 慶尙大學校 農業機械工學科

under the condition at 4.5mm in the diameter of the main passageway and at 17.5mm in the length of the precombustion chamber.

6. The angle of the cylinder head groove and the main passageway appeared to the major factors affecting the startability significantly. The interaction between the diameter of the main passageway and the length of the precombustion chamber had an significant influence on the maximum output. So it would be recommended to study further on the interaction between two factors mentioned above by expanding their levels.

7. The optimum condition suggested by this study could lower the starting temperature by 6°C compared to the conventional precombustion chambers.

1. 緒 言

1960年代初부터 農業機械化事業이 推進되어 온 이래 主普及機種인 動力耕耘機의 1981年 8月末 現在 普及臺數는 30餘萬臺에 달하고 있으며, 이 중 1970年代初부터 普及되기 시작한 動力耕耘機의 約 50% 程度가 디젤엔진을搭載한 것으로 나타나 있다.²⁾ 또한 政府의 第5次 經濟開發 5個年計劃이 끝나는 1986年末 動力耕耘機 普及臺數는 42萬臺로 計劃되어 있어 農家 5戶當 1臺씩³⁾ 保有하게 되며 특히 現在와 같은 國際的인 에너지波動에 따른 油價引上推移를 考慮할 때 燃料費가 적게 드는 디젤耕耘機 및 엔진의 普及率이 앞으로도 계속 높아질 것으로 展望된다. 그런데 現在 國內에서 生產되고 있는 디젤耕耘機에搭載되는 小型 디젤엔진은 모두 副室式燃燒室을 採擇하고 있으며 그 중 大部分이 豫燃燒室式으로 設計되어 있다. 그러나豫燃燒室式 디젤엔진은 燃料의 性質에 鈍感하고 高速回轉이 可能하며⁴⁾ 振動 및 驟音이 적은 反面에 低溫時에 있어서 始動이 어렵기 때문에 冬節期의 平均氣溫이 零下로 내려가는 우리나라의 氣候條件에서는 使用上에 많은 不便을 给고 있음은 周知의 事實이다. 한편 디젤엔진에 있어서 冷始動性에 影響을 미치는 要因은一般的으로 壓縮比, 燃料噴射時期, 始動時의 燃料噴射量, 始動時回轉速度, 燃料의 性質, 潤滑油의 粘度, 노즐의 形式, 燃燒室의 形狀 등으로 大別되며⁵⁾ 특히豫燃燒室式 디젤엔진에 있어서의豫燃燒室 形狀은 冷始動性에 커다란 影響을 미칠 것으로 생각된다. 따라서 本研究는 이러한 점에着眼하여豫燃燒室의 形狀과 噴口의 크기 및 噴射角變化가 小型 디젤엔진의 性能에 미치는 影響을 究明하여 小型 디젤엔진의 冷始動性 向上을 圖

謀코자 하였다. 本 實驗을 위해 物心兩面으로 支援해 주신 慶尙大學校 農業機械工學科 여러분과 大同工業株式會社에 깊은 감사를 드립니다.

2. 研究史

農用 小型 디젤엔진은 2次大戰後 日本에서 歐美的 가든 트랙터(Garden Tractor)를 發展시켜 小規模 營農에 알맞는 動力耕耘機를 製作함에 따라 耕耘機搭載用으로 發展되었으며 國內에서는 1970年부터 디젤耕耘機가 生產普及됨에 따라 小型 디젤엔진을 使用하기 시작하여 現在는 揚水, 防除, 脫穀作業 等에도 使用되고 있으며, 漸次 그 利用範圍가 擴大되고 있는 實情이다. 農用小型 디젤엔진의燃燒室에는 廣範圍한 回轉數 變化에도 燃燒의 安定性이 良好하여 爆發壓力, 振動 및 驟音이 적고, 高速, 小型 輕量化에 適合한豫燃燒室式燃燒室이 많아 採擇되고 있으나^{12), 14)} 이러한豫燃燒室式 디젤엔진은 始動時에豫燃燒室의 流入空氣가 噴射口에서 絞縮되므로豫燃燒室內의 壓力上升이 높어지며豫燃燒室 表面積이比較的 크므로 이에 따른 冷却으로 因한 热損失이 많아 상당히 높은 壓縮比를 使用하여도 寒冷時에는 始動이 困難하다.^{13), 15), 18), 24), 28)} 그러므로 乘用트랙터 및 콤바인等에는 이러한 冷始動性的 問題點을 解決하기 위해 電氣始動方式을 採擇하여 始動時 글로우 플러그(Glow plug)를 加熱시켜 發火를 들고 있으나, 손으로 始動을 거는 小型 디젤엔진에는 위의 方法을 使用하는 것이一般的으로 不可能하므로²¹⁾ 燃燒性能을 低下시키지 않는範圍內에서 始動性을 向上시키는 方案이 研究되어 왔다.^{4), 10), 12), 22)} 長尾¹⁸⁾와 小皇¹⁰⁾는豫燃플러그를 使用하지 않을 時遇 노즐로부터 噴射된 噴霧が主燃燒室로 나가기 쉬운 形狀일수록 始動성이 좋아

진다고 하였으며 堀江¹²⁾은 小型 豫燃燒室式 디젤엔진에 대한 實驗結果, 低温始動時豫燃燒室의 温度는 主燃燒室보다 50°C~80°C 낮으며 主燃燒室內의 温度는豫燃燒室의 形狀의 變化에 따라 그다지 差異를 보이지 않고 있으나豫燃燒室內의 温度는 噴射口의 크기와 角度에 따라 크게 變化한다고 報告하였다. 長澤²¹⁾等은 始動性과 燃燒性能은 서로 相反된다고 하였으며 主噴射口의 크기가 작아지면 出力은 增加하나 始動性은 低下하며,豫燃燒室 길이가 短아지면 始動性은 좋았지만 出力은 低下된다고 報告하였다.

또한 吉田¹⁰⁾은豫燃燒室의 容積은 全體 燃燒室容積의 15~50% 程度이고,豫燃燒室內에서 燃燒되는 燃料量은 噴射量의 20~25% 程度가 普通이며,豫燃燒室內의 噴射는 充分히 雾化시킬 必要가 없고, 單孔노즐 또는 噴霧 圓錐角이 작은 펌플(pintle)노즐이 適合하며, 噴射壓力도 150kg/cm²以下라고 報告하였다.^{15), 20)} 小島¹⁰⁾는 始動性 및 燃燒性能이 良好한 새로운 形態의 燃燒室을 開發하기 위해서는

Table 1. Specifications of engine used

Items	Dimensions and remarks
No. of cylinder	1
Bore × Stroke(mm)	80×95
Displacement(cc)	477
Continuous rated output(ps/rpm)	6/2200
Max. output(ps/rpm)	8.5/2200
Max. torque(kg·m/rpm)	3.0/1900
Max. no load speed(rpm)	2400
Compression ratio	23
Fuel	Light diesel oil SAE No.2-D
Fuel injection pump	Bosch type
Injection Nozzle	DN4S1
Injection pressure(kg/cm ²)	135
Injection timing	BTDC 17°
Lubricant	SAE 10W/30
Cooling system	Pressured condenser type
Starting system	Speed doubling handle by hand
Lubricating system	Forced lubrication with trocoid pump
Dry weight(kg)	90

Table 2. Specifications of fuel used

Items	Remarks
Flash point(°C)	51.7
Water and sediment by volume(%)	0.05
Carbon residue at 10% residuum(%)	0.35
Ash by weight(%)	0.01
Distillation temperature 90% point(°C)	338
Viscosity at 37.8°C(cs)	4.3
Sulfur by weight(%)	0.5
Strip corrosion	No.3
Cetane No.	40

Table 3. Specifications of Lubricant used

Items	Remarks						
Specific gravity	0.882						
Viscosity(cs)	<table border="1"> <tr> <td>-18°C</td><td>2200</td></tr> <tr> <td>38°C</td><td>73.45</td></tr> <tr> <td>99°C</td><td>12.11</td></tr> </table>	-18°C	2200	38°C	73.45	99°C	12.11
-18°C	2200						
38°C	73.45						
99°C	12.11						
Viscosity index	174						
Flash point(°C)	216						
Pour point(°C)	-37						
Ash sulfide by weight(%)	0.77						

理論的인 解析만으로는 거의 不可能하며, 여러 가지의 供試品에 대해 實驗計劃法의 으로 實驗을 행하는 것이 通例라고 하였다.

以上에서 밝혀 본 바와 같이 外國에서는 디젤엔진의 冷始動性에 관한 많은 研究가 遂行되어 왔으나 그 適用範圍가 너무 廣範하여 그 結果를 우리 나라에서 使用하고 있는 小型 費用디젤엔진에 直接 適用하기에는 設計示方 및 製作上 많은 問題點이 있으며 엔진示方別로 그 特性에 알맞는豫燃燒室에 對한 研究가 必要하다고 생각되는 바 우리나라에서는 아직 이에 대한 研究를 거의 찾아볼 수 없는 實情이다.

3. 材料 및 方法

가. 供試機

本 實驗에 使用한 엔진은 動力耕耘機에 搭載되는 水冷 4사이클 디젤엔진으로 그 諸元은 表 1과 같고

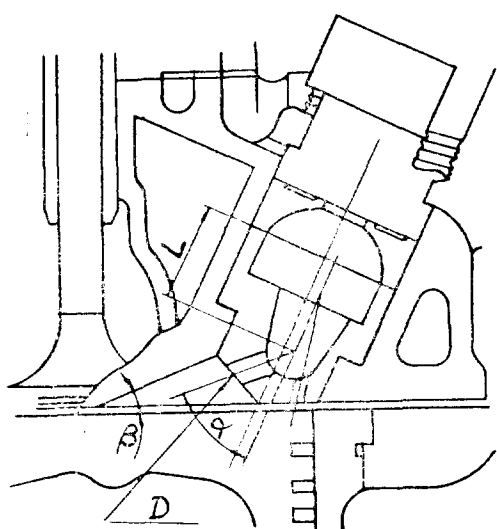
첫수는 表 4에 나타낸 바와 같이 2^7 要因實驗法^{6), 18)}

에 따른 直交配列表를 利用하여 決定하였다.

Table 4. Dimensions of prototype precombustion chamber and cylinder head

Name of prototype \ Factor	Angle of main passageway α (degree)	Angle of cylinder head groove β (degree)	Length of precombustion chamber L (mm)	Diameter of main passageway D (mm)
1	45	18	15.5	4.5
2	45	18	17.5	4.8
3	45	20	15.5	4.8
4	45	20	17.5	4.5
5	47	18	15.5	4.8
6	47	18	17.5	4.5
7	47	20	15.5	4.5
8	47	20	17.5	4.8

Fig. 1. Prototype precombustion chambers manufactured for test.



α : Angle of main passageway
 L : Length of precombustion chamber
 β : Angle of cylinder head groove
 D : Diameter of main passageway

Fig. 2. Sectional view of precombustion Chamber assembled.

使用한 燃料 및 潤滑油의 諸元은 表 2 및 表 3과 같다.

나. 實驗材料

本 實驗에 使用된 供試豫燃燒室은 그림 1과 같다. 主噴射口의 지름, 噴射角 및豫燃燒室길이가 각각 다른 8種의豫燃燒室과 2種의 실린더헤드를 壓縮比 및 容積比가一定하도록 設計하여 지그 보링 머시인등을 使用하여 製作하였으며 組立된 狀態는 그림 2에서 보는 바와 같고 各 供試品의 細部

다. 實驗方法

2臺의 供試엔진에 2種의 실린더헤드를 組立後 2直交配列表에 따라 각각 製作한 該當豫燃燒室을 組立하여 4回反復 實驗하였다. 測定項目은 全負荷(4/4)와 過負荷(11/10)時의 燃料消費率과 最大出力 및 1回 最低 始動可能 測定로서 그 測定 方法은 KSB7361 小型 陸用 内燃機關 性能試驗方法¹¹⁾에 準하여 各各 다음과 같이 測定하였다.

1) 燃料消費率 測定試驗

定格回轉數에 있어서의 4/4, 11/10負荷時 軸托오크에 따른 荷重을 (1)式에 의해 구하였으며 프로니브레이크를 使用하여 負荷運轉을 實施하여 一定한 負荷가 維持되도록 하였다.

$$PS = \frac{n(W-w)L}{716.2} \quad (1)$$

P.S; 엔진出力(ps)

n; 엔진回轉數(rpm)

W; 저울에 걸리는 荷重(kg)

w'; 프로니 브레이크 아암(prony Prake Arm)
自重(kg)

L; 프로니 브레이크 아암 길이(m)

이와 同時に 容量式 測定方法^{6), 16)}을 使用하여 그림 3과 같이 別途의 燃料탱크와 燃料測定用 뷰렛을 連結하는 파이프 사이에 三方向 쿡크를 設置하여 탱크로부터 流入된 燃料가 뷰렛의 一定油面 以上을 維持하였을 境遇 쿡크를 操作하여 運轉中인 供試機

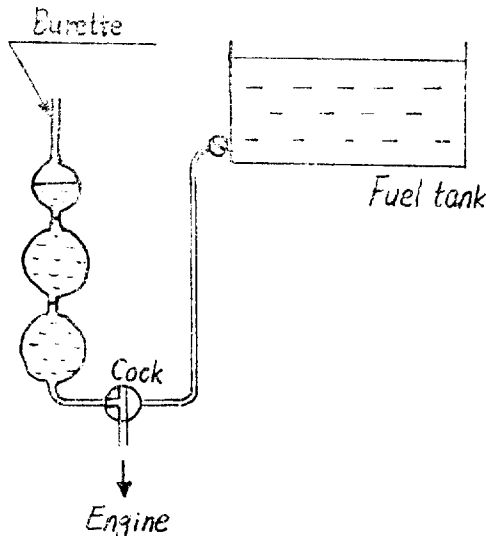


Fig. 3. Schematic drawing of measuring instrument for fuel combustion.

의 燃料パイプ와 連結되게 하였고 엔진의 각 負荷別로 100cc의 燃料가 消耗되는 時間을 ス톱 워치로 测定하여 (2)式에 의하여 燃料消費率을 구하였다.

$$F = \frac{3600QG}{tp} \quad (2)$$

F: 燃料消費率(g/ps.hr)

Q: 燃料消費量(cc)

G: 比重

t: 燃料消費時間(sec)

p: 엔진의 出力(ps)

2) 最大出力 測定試驗

供試機是 無負荷 最高回轉數에 맞추어 높은 후 回轉數를 回轉計로 测定하여 定格回轉數로 維持시키면서 그때의 最大負荷 荷重을 测定하여 (1)式에 의해 最大出力を 計算하였다.

3) 冷始動 試驗

零下 20°C까지 温度를 내릴 수 있는 冷凍室에 放置를 防止하기 위해 冷却水를 完全히 뺀 供試機를 約 7~8時間 放置하여 冷凍室內의 温度와 엔진의 潤滑油 温度가 同一하도록 한 후 크랭크케이스內의 潤滑油 温度를 测定하여 0°C에서부터 1°C씩 내려갈 때마다 始動한들을 使用하여 始動을 걸었으며¹⁰⁾ 1回의 操作에 의해 初爆이 일어진 후 連續的인 爆發이 發生하는 境遇에만 始動이 된 것으로 看做하여 始動이 可能했던 最低 潤滑油 温度를 始動溫度로 記錄하였다.

Table 5. ANOVA table for lowest starting temperature

Factor	df	SS	MS	F	$\rho(\%)$
α	3	45.125	15.042	9.0**	17.6
β	3	84.5	28.167	16.85**	34.9
$\alpha \times \beta$	3	21.125	7.042	4.21*	7.1
L	3	32	10.667	6.38**	11.9
$\beta \times L$	3	18	6	3.58*	5.7
e	16	26.75	1.672		
Total	31	227.5			

4. 結果 및 考察

가. 始動溫度

實驗區 配置에 따라 組立된 供試機를 冷凍室에 放置後 潤滑油 温度가 0°C에서부터 1°C씩 내려갈 때마다 始動을 걸어 1回 最低 始動可能 温度를 测定하여 이를 分析한 結果는 表 5와 같다. 表 5에서 알 수 있는 바와 같이 豫燃燒室의 主噴射口 角度 (α), 실린더헤드 흠 角度(β) 및 豫燃燒室의 길이 (L)의 變化에 따른 始動溫度는 1% 水準에서 有義差를 나타냈으며 主噴射口 角度와 실린더헤드 흠 角度와의 交互作用 및 실린더헤드 흠 角度와 豫燃燒室 길이와의 交互作用에 의한 效果는 5% 水準에서 有義差를 보였다. 또한 始動溫度에 影響을 미치는 要因들의 寄與率은 실린더헤드 흠 角度 34.9%, 主噴射口 角度 17.6%, 豫燃燒室 길이 11.9%, 主噴射口 角度와 실린더헤드 흠 角度의 交互作用 7.1% 실린더헤드 흠 角度와 豫燃燒室 길이의 交互作用 5.7%의 順으로 나타났다.

그림 4에서 그림 8까지는 始動溫度에 미치는 各要因들의 效果를 나타낸 것으로 主噴射口 角度가 45°에서 47°로 커짐에 따라 始動溫度가 2.4°C 낮아졌고, 실린더헤드 흠 角度가 20°에서 18°로 작아짐에 따라 始動溫度는 3.3°C 낮아졌으나, 豫燃燒室 길이가 15.5mm에서 17.5mm로 길어짐에 따라 始動溫度는 2°C 높아졌으며 이는 長澤等¹¹⁾의 報告와 同一한 傾向을 보여주었다. 또한 主噴射口 角度와 실린더헤드 흠 角度의 交互作用에 의한 效果는 主噴射口 角度가 47°, 실린더헤드 흠 角度가 18°일 境遇 始動溫度가 $-7.5 \pm 0.8^\circ\text{C}$ 로서 始動性이 가장 良好하였으며, 실린더헤드 흠 角度와 예연소실 길이의

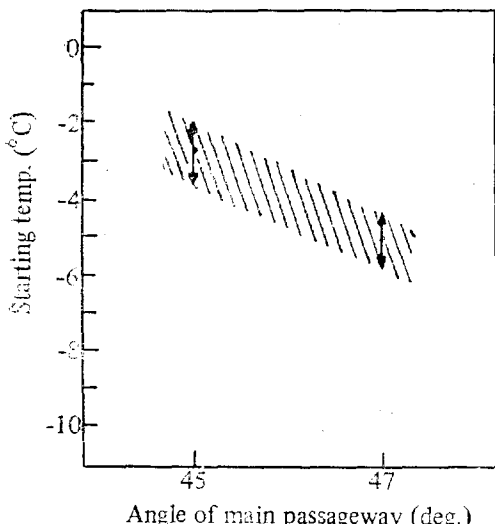


Fig. 4. Effect of angle of main passageway on starting temperature.

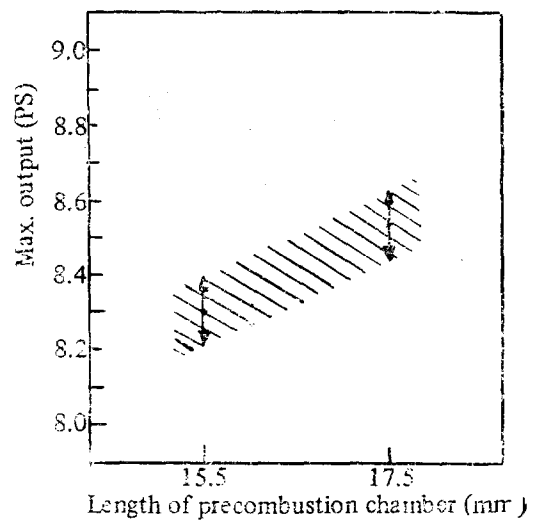


Fig. 6. Effect of length of precombustion chamber on starting temperature.

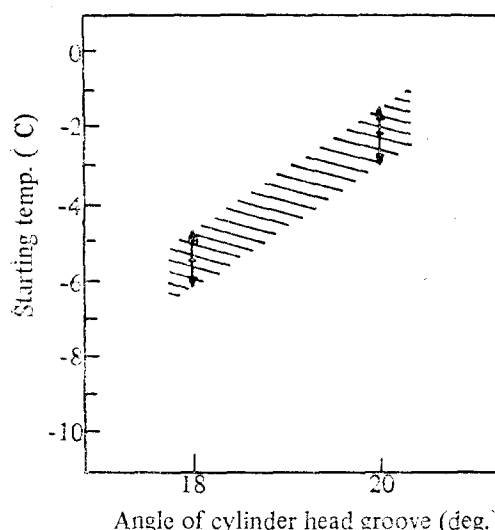


Fig. 5. Effect of angle of cylinder head groove on starting temperature.

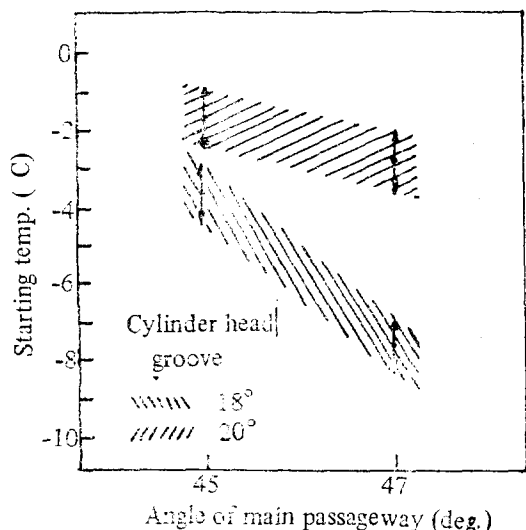


Fig. 7. The interaction effect of main passageway angle and cylinder head groove angle on starting temperature.

交互作用에 의한效果는 실린더헤드 흡角度가 18°豫燃燒室 길이가 15.5mm일 境遇 $-7.3 \pm 0.8^{\circ}\text{C}$ 로始動性이 가장 좋았다. 아울러 本 實驗에서 最適條件으로 나타난 試作品의 始動溫度는 主噴射口角度 47°, 主噴射口 直徑 4.8mm,豫燃燒室 길이 15.5mm 실린더헤드 흡角度 18°일 境遇 -9°C 로서 既存品보다 約 -6°C 의 始動性 向上을 보였다. 以上의 結

果를 考察하여 보면 노즐로부터 主燃燒室까지의 噴霧 到達距離가 짧은 쪽이 噴射口를 通한 流入渦流의 影響을 적게 받아 噴霧의 빠짐이 적게 되므로 壓縮行程時 燃燒室內의 温度가豫燃燒室보다 높은 主燃燒室쪽으로 많은 量의 混合氣가 噴出됨에 따라 着火가 容易하여지고 따라서 始動性이 向上되는 것

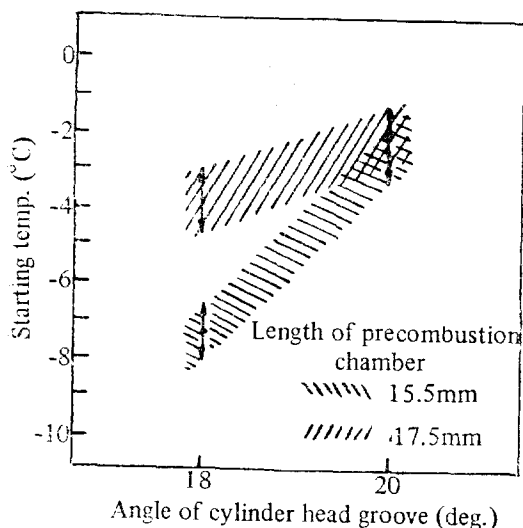


Fig. 8. The interaction effect of cylinder head groove angle and precombustion chamber length on starting temperature.

으로 推定된다. 이것은 氣溫이 0°C 以下인 境遇에는 始動時 主燃燒室로 噴出된 燃料에 의해 最初의 着火가 發生된다는 當江¹²⁾의 報告로도 알 수 있다. 本 實驗에서 主噴射口 直徑(D)에 따른 效果, 즉 噴口面積比에 따른 始動性的 異異가 僅少하게 나타난 것은 一般的인 理論^{17), 21)}과는 相異하나, 이는 主噴射口 直徑의 差異를 0.3mm 로 水準差를 너무 작게 實驗했기 때문인 것으로 料된다.

나. 最大出力

供試豫燃燒室別로 最大出力 測定 結果를 分析하여 보면 表 6과 같다. 表 6에서 나타난 바와 같이 主噴射口 角度(α), 실린더헤드 흡角度(β), 및 主噴射口 直徑(D)과豫燃燒室 길이(L)의 交互作用에 따른 最大出力은 1%水準에서 有意差를 보였으며,豫燃燒室 길이와 主噴射口 直徑에 의한 效果는 5%水準에서 有意差를 나타냈다. 또한 各要因들의 寄與率은 主噴射口 直徑과豫燃燒室 길이와의 交互作用이 36.8%, 主噴射口 角度 13.2%, 실린더헤드 흡角度 11.9%,豫燃燒室 길이 7.4% 主噴射口 直徑 5.5%의 順으로 나타나 主噴射口 直徑과豫燃燒室 길이와의 交互作用이 最大出力에 가장 큰 影響을 미치는 것을 알 수 있었다. 그림 9에서 그림 13까지는 各要因들의 變化에 따른 最大出力의 變化를

나타낸 것으로 主噴射口角度가 45° 에서 47° 로 실린더헤드 흡角度가 18° 에서 20° 로,豫燃燒室 길이가 15.5mm 에서 17.5mm 로 各各 커짐에 따라 最大出力도 增加하였으나, 主噴射口 直徑은 4.5mm 에서 4.8mm 로 커짐에 따라 最大出力이 減少하였다. 또한 主噴射口 直徑과豫燃燒室 길이와의 交互作用에 의한 效果는 主噴射口 直徑이 4.5mm ,豫燃燒室 길이가 17.5mm 일 때 最大出力이 $8.9 \pm 0.1\text{ps}$ 로 가장 良好하였으며 本 實驗에서 最適條件으로 나타난 試作品의 最大出力은 主噴射口 角度 45° , 主噴射口 直徑 4.5mm ,豫燃燒室 길이 17.5mm , 실린더헤드 흡角度 20° 일 境遇 9ps 로 나타났다. 上記와 같은 結果는 主噴射口 角度가 커짐에 따라 壓縮行程時豫燃燒室로 流入되는 空氣와 노즐로부터 噴射되는

Table 6. ANOVA table for maximum output

Factor	df	SS	MS	F	$\rho(\%)$
α	3	0.630	0.230	7.42**	13.2
β	3	0.633	0.211	6.81**	11.9
L	3	0.423	0.143	4.61*	7.4
D	3	0.340	0.113	3.65*	5.5
$D \times L$	3	1.758	0.586	18.90**	36.8
e	16	0.494	0.031		
Total	31	4.53			

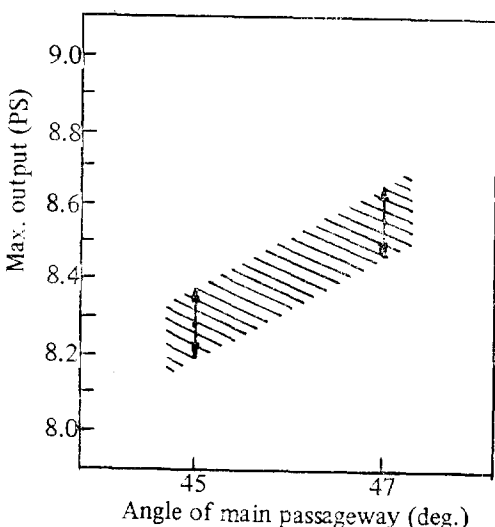


Fig. 9. Effect of angle of main passageway on maximum output.

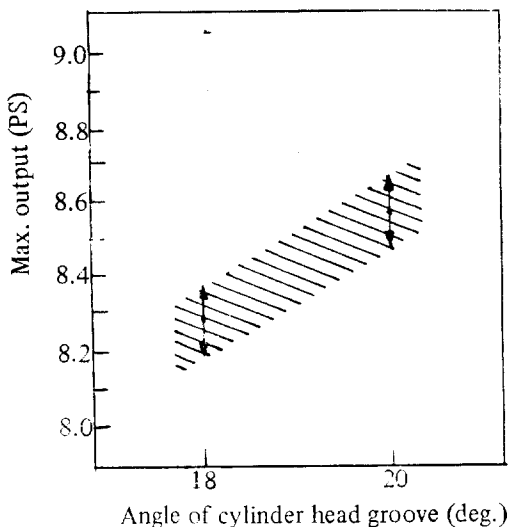


Fig. 10. Effect of angle of cylinder head groove on maximum output.

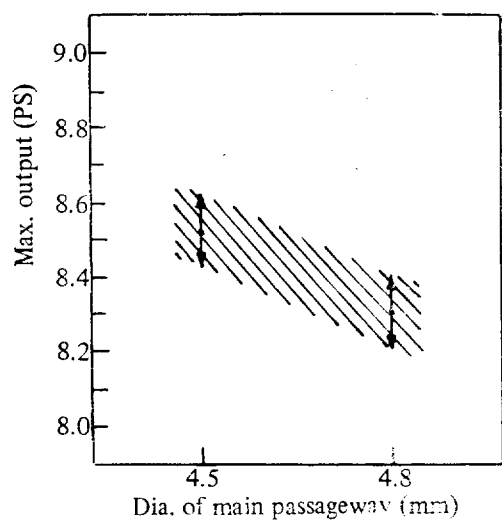


Fig. 12. Effect of diameter of main passageway on maximum output.

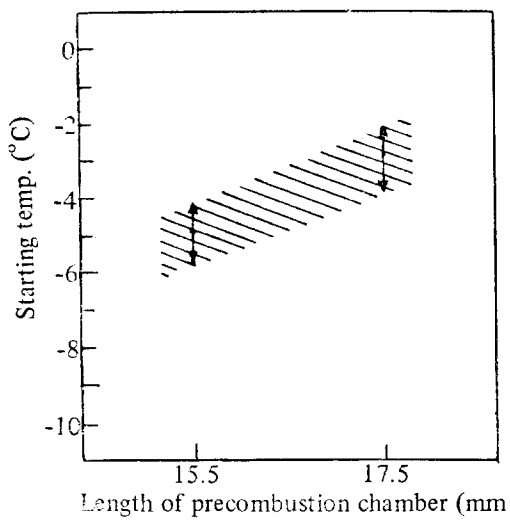


Fig. 11. Effect of length of precombustion chamber on maximum output.

噴霧가正面으로衝突하는 것을 피할 수 있어 이로
인해主燃燒室로 절은混合氣의噴出이可能하게
되어充分한燃燒가 이루어질 수 있기 때문에燃燒
性能이向上된 것으로判斷된다. 또한豫燃燒室의
길이가 길어짐에 따라最大出力이增加한 것은長
澤等²¹⁾의研究結果와一致하고 있다. 한편主噴射
口의直徑이작아짐에 따라, 즉噴口面積比가減少

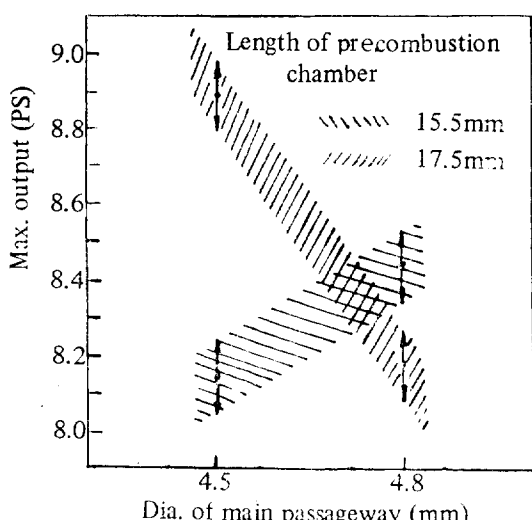


Fig. 13. The interaction effect of main passageway diameter and precombustion chamber length on maximum output.

함에 따라最大出力이增加한 것은豫燃燒室과主
燃燒室의壓力差異가커지므로豫燃燒室로부터主
燃燒室로의噴出에너지가增大함에基因한 것으로
思料된다. 本實驗에서主噴射口直徑과豫燃燒室
길이와의交互作用에 의한效果가 상당히크게나

Table 7. ANOVA table for specific fuel consumption at full load

Factor	df	SS	MS	F	$\rho(\%)$
α	3	128	42.657	2.25	5.3
$\alpha \times D$	3	91.125	30.375	1.60	2.5
L	3	120.125	40.042	2.11	4.7
$D \times L$	3	648	216	11.39**	43.9
e	19	360.25	18.961		
Total	31	1347.5			

타났으므로 앞으로 處理數를 늘려 實驗의 불必要가 있다고 생각된다.

다. 燃料消費率

實驗에서 4/4 및 11/10負荷時의 燃料消費率을 구하여 各 要因別로 分析한 結果는 表 7 및 表 8과 같다. 主噴射口 直徑(D)과豫燃燒室 길이(L)와의

Table 8. ANOVA table for specific fuel consumption at over load

Factor	df	SS	MS	F	$\rho(\%)$
α	3	98	32.667	1.12	0.7
L	3	112.5	37.5	1.29	1.7
$D \times L$	3	648	216	7.42**	37.4
e	22	640.375	29.103		
Total	31	1498.87			

交互作用이 1% 水準에서 有義差가 認定되었으나 그 외의 다른 要因들의 變化에 따른 燃料消費率의 差異는 有義性이 認定되지 않았다. 아울러 各 要因들의 寄與率도 主噴射口 直徑과豫燃燒室 길이와의 交互作用에 의한 影響이 가장 큰 것으로 나타났다. 그림 14 및 그림 15는 燃料消費率에 미치는 各 要因들의 效果를 나타낸 것으로, 4/4 및 11/10負荷時 모두 主噴射口 直徑이 4.5mm,豫燃燒室 길이가 17.5mm일 時遇, 즉 噴口 面積比가 작고, 노즐로

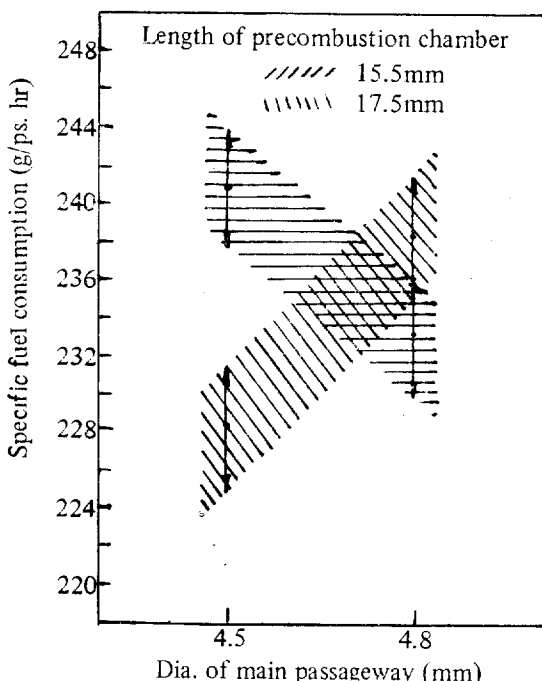


Fig. 14. The interaction effect of main passageway diameter and precombustion chamber length on specific fuel consumption at full load.

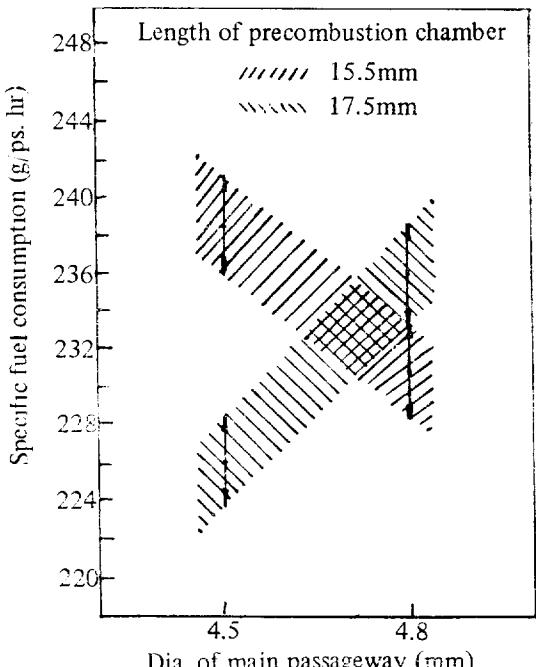


Fig. 15. The interaction effect of main passageway diameter and precombustion chamber length on specific fuel consumption at over load.

부터의 噴霧 到達距離가 景遇에 燃料消費率이 가장 낮았으며 이는 最大出力에서 나타난 結果와同一한 傾向임을 알 수 있었다. 本 實驗에서 最適條件으로 나타난 試作品은 4/4 및 11/10負荷時 모두 同一하였으며, 主噴射口 角度 45° , 실린더헤드 흡角度 20° , 豫燃燒室 길이 17.5mm, 主噴射口 直徑 4.5mm일 景遇, 燃料消費率은 각각 225.5g/ps·hr, 228.3g/ps·hr로 나타났다.

5. 摘 要

小型 디젤엔진의豫燃燒室形狀의 低溫時의 始動性에 미치는 影響을 究明하기 위해 8種의豫燃燒室과 2種의 실린더헤드를 製作하여 2⁷ 要因實驗法에 의해 1回 操作時 最低 始動可能 温度, 最大出力, 全負荷(4/4) 및 過負荷(11/10)時의 燃料消費率을 測定하여 分析한 結果를 要約하면 다음과 같다.

가. パス톤 上面에 대한 主噴射口의 相對角度가 20° 에서 18° 로 減少하면 最低 始動可能 温度가 約 2.4°C 낮아졌으며 最大出力은 約 0.3ps增加되었다.

나. 실린더헤드 흡角度가 20° 에서 18° 로 작아짐에 따라 最低 始動可能 温度가 約 3.3°C 낮아졌으며, 最大出力은 約 0.3ps 減少되었다.

다.豫燃燒室 길이가 17.5mm에서 15.5mm로 矮아지면 最低 始動可能 温度가 2°C 낮아졌으며 最大出力은 0.2ps程度 減少되었다.

라. 主噴射口 直徑이 4.8mm에서 4.5mm로 작아지면 最大出力은 0.2ps程度 增加했으나, 主噴射口 直徑의 變化에 따른 始動性의 差異는 認定되지 않았다.

마. 主噴射口 角度가 47° 이고 실린더헤드 흡角度가 18° 일 景遇 始動可能 温度가 가장 낮았으며, 主噴射口 直徑이 4.5mm이고豫燃燒室 길이가 17.5mm일 景遇가 最大出力도 가장 높았고, 全負荷 및 過負荷時의 燃料消費率도 가장 낮았다.

바. 실린더헤드 흡角度와 主噴射口의 角度가 각各 始動性 向上에 가장 큰 影響을 미쳤으며, 또한 主噴射口 直徑과豫燃燒室 길이와의 交互作用이 最大出力에 가장 큰 影響을 미쳤으므로 이들 要因에 대한 處理數를 늘려 試驗해 볼 必要性이 있는 것으로 思料된다.

사. 本 實驗에서 最適條件으로 나타난 試作品豫燃燒室은 既存豫燃燒室보다 約 -6°C 의 始動性 向上来 나타냈다.

引 用 文 獻

1. 國立農業資材検査所. 1980. 農業機械検査 細部實施要領. 11-25.
2. 韓國農業機械學會. 1980. 農業機械年鑑, 韓國農機具工業協同組合. 서울. p.290
3. 廣安博之外 2人. 1980. ディーゼル機関の壁面衝突噴霧の着火おくれ, 日機論 46(403) : 531-539
4. 宮本 登. 1980. ディーゼル機関の冷始動性向上に關する幾つかの因子と方策について, 内燃機關. 19(236) : 9-18
5. 田口玄一. 1980. 新版實驗計劃法(上) 丸善, 東京.
6. Liliedahl J.B., et. al. 1979. Tractors and their power units. John Wiley & sons. N.Y, p. 112-113
7. 竹内貴一郎 外 3人. 1979. ディーゼル機關燃燒室内の噴霧液滴の舉動について. 内燃機關. 18(220) : 9-19
8. 八田桂三. 1979 内燃機關ハンドブック, 朝倉書店, 東京, p. 177, 377-378.
9. 吉田正一 外 2人. 1979.豫燃燒室式ディーゼル機關燃燒室各部の熱の流れ. 日機論 45(391) : 416-424.
10. 小島淳男. 1978. ディーゼル機關の燃燒と燃燒室について, 日農機誌. 39(4) : 560-562
11. 韓國工業標準協會. 1978. KSB 7361. 小型 陸用 内燃機關 性能試驗方法.
12. 堀江修三. 1978. 農用小形ディーゼル機關の始動性改善への試み, 日農機誌 39(4) : 574-576
13. 栗野誠一. 1978. 内燃機關工學, 山海堂, 東京, p. 294-295.
14. 三箇山正雄. 1978. 農用ディーゼル機關の動向と今後の課題, 日農機誌 39(4) : 539-543.
15. 長尾不二夫. 1977. 内燃機關講義(上), 養賢堂, 東京, p. 289-296.
16. 橋田克彦, 松岡信. 1977. ディーゼル機關의 燃料噴霧의 實驗的研究, 日機論. 43(373) : 3455-3463.
17. 宮本 登, 村山 正. 1976. 副室式ディーゼル機關의 着火遲れ特性に關する解析, 日機論. 42(364) : 3994-4002
18. Kempthorne, O. 1975. The Design and Ana-

小型 디젤엔진에 豫燃燒室 形狀이 冷始動性에 미치는 影響에 關한 實驗的 研究

- lysis of Experiments. Robert E. Krieger Co. N.Y., p. 259—265.
19. 日本農業機械學會. 1975. 農業機械ハンドブック, コロナ社. 東京, p. 290—291.
20. 大道寺達. 1974. ディーゼル機関設計法, 工學圖書. 東京, p. 227—232.
21. 長澤重夫, 國恒彦. 1971. 三菱かつらディーゼル機関の始動性改良, 内燃機關. 10(111) : 21—28.
22. 竹内龍三. 1970. 小形内燃機關學(下). パワ社 東京, p. 402—403.
23. 竹内龍三. 1969. 農用ディーゼルエンジンの現狀と問題點. 内燃機關. 8(88) : 35—46
24. Lichtry, L.C. 1967. Combustion engine Processes. McGrawHill. N.Y., p. 473—475.
25. 東京大農業工學教室. 1966. 農業機械實驗編覽養賢堂, 東京, p. 58—59.
26. 長尾不二夫. 1964. 副室式ディーゼル機關における燃燒(I), 内燃機關. 3(19) : 73—78.
27. ———. 1964. 副室式ディーゼル機關における燃燒(II), 内燃機關. 3(20) : 25—30.
28. 日本機械學會. 1962. 機械工學編覽, 日本機械學會, 東京, p. 14—44.
29. Marks, L.S. 1951. Mechanical Engineers' Handbook. McGrawHill. N.Y., p. 1206.

<103page로부터 계속>

보고 社長과도 對話を 나누는 기회를 가졌다. 工場內部는 마치 休業을 한 것 같이 한산하였으나 거의 모든 工作機械가 自動的으로 作業을 하고 있었으며 각 實驗室에는 미리 벽 Sample을 준비하여 本人이 갈 때마다 일일이 作動을 시키면서 설명을 하여주는 친절을 베풀어 주었다. 時間當 4ton 單位의 搗精設置도 稼動을 시켜주었으며 特히 部品 保管倉庫에 갔을 때는 필요한 部品 카드를 컴퓨터에 집어넣으면 기체가 自動的으로 움직여 部品이 담겨 있는 수백개의 상자 중에서 필요한 상자를 운반하여 가져오는 것을 볼 때 부러움을 금치 못했다. 또한 玄米分離機의 경우 玄米와 벼의 反射率(reflectivity)을 이용하여 玄米分離作業이 自動的으로 調節되고 있음을 매우 特異하였다. 社長과의 對話에서 本人이 “당신의 工場이 지금 이와같이 世界的으로 인정을 받게끔 發展하게 된데 대한 당신의 哲學이 무엇이냐”는 질문에 대한 그의 答辯은 매우 인상적이었다. (satake 工場의 年間 總賣出額은 約 1,800억 원임) 即 自己會社가 1896年에 創立된 以來 계속해서

搗精機械만을 生產하여 有으며 도중에 다른 기체를 生產하라는 정부나 주위의 권유를 많이 받았지만 이를 모두 몰리치고 오직 한 가지 機種만을 꾸준히 開發하여 왔기 때문이라는 것이었다. 搗精收率을 現在의 水準보다 더 向上시킬 수 있는 기체를 앞으로 개발할 수 있느냐는 물음에 대하여는 난색을 表明하면서도 品種에 따른 向上은 어느 정도 可能할 것이라고 말하였다.

이들 두 工場의 訪問을 통하여 本人은 Satake 社長의 哲學과 각 工場 單位의 깊은 研究가 日本의 農機產業과 農業機械化를 高度로 發展시킨 原動力이 되었다고 確信하였다.

그간 約 50餘名의 人士와 접촉하면서 금번 여행을 통하여 本人이 얻은 結論은 우리나라의 技術水準과 두뇌는 外國에 뒤떨어지지 않음은 事實이나 심오한 연구를 할 수 있는 터전이 아직 마련되지 못하고 있음을 통감하며 연구의 뒷받침 없이는 우리 分野의 發展速度는 거북이 걸음에 지나지 않을 것이라고 強調하고 싶다.